

原子核基礎論B

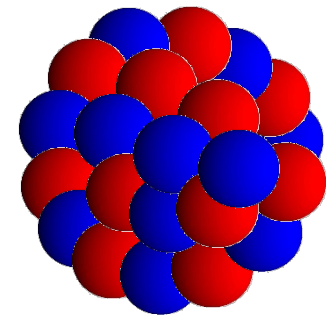
原子核理論研究室(物2) 萩野浩一

シラバス

萩野

大西

1. 原子核の集団運動とその微視的理解 (3コマ)
2. 原子核反応論基礎 (1コマ)
3. 核融合反応 (1コマ)
4. 核分裂: 現象論と微視的理論 (1コマ)
5. ニホニウムと超重元素の物理 (1コマ)
6. 高温・高密度核物質外観 (1コマ)
7. 高エネルギー重イオン衝突 (2コマ)
8. 有限温度・密度における場の理論入門 (2コマ)
9. QCD有効模型における相転移と相図 (1コマ)
10. 有限温度・密度格子QCDと符号問題 (1コマ)



シラバス(基礎論A)

5. 殻模型と魔法数(1コマ)
6. 平均場理論と核変形(3コマ)
7. 中性子過剰核の物理(2コマ)
8. 非束縛核と共に鳴散乱理論(1コマ)

主に基底状態

→ 基礎論Bで

シラバス(基礎論B)

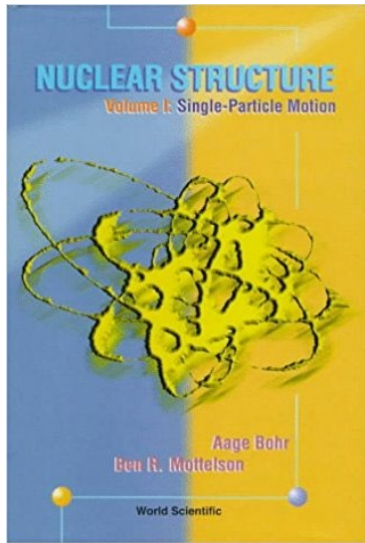
1. 原子核の集団運動とその微視的理解(3コマ)
2. 原子核反応論基礎(1コマ)
3. 核融合反応(1コマ)
4. 核分裂:現象論と微視的理論(1コマ)
5. ニホニウムと超重元素の物理(1コマ)

主に励起状態
と核反応

成績： レポート80%、出席など20%

質問： 適宜聞いて下さい。
チャットに書き込んでもOK。

参考書



Bohr-Mottelson



原子核反応論

河合光路
吉田忠郎
(著)

朝倉書店



不不定核の物理

中性子ハロー・魔法球調査から
中性子星まで

中村隆司 (著)

8

基礎知識から読み解く物理学最前線

須藤彰三
著

共立出版

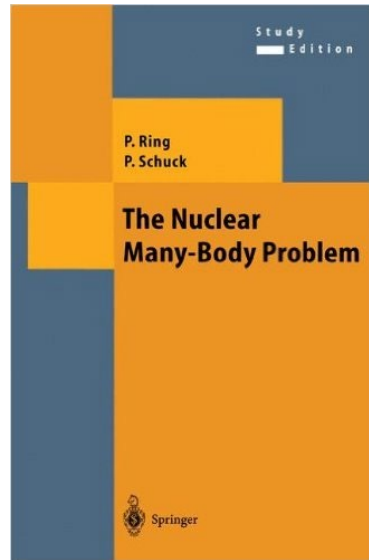


量子散乱理論への
招待

フェムトの世界を見る物理

緒方一介
(著)

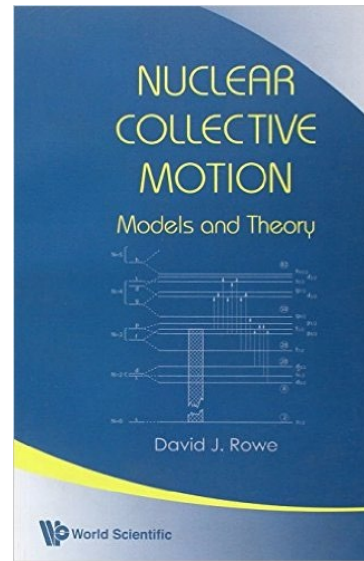
共立出版



The Nuclear
Many-Body Problem

P. Ring
P. Schuck

Springer



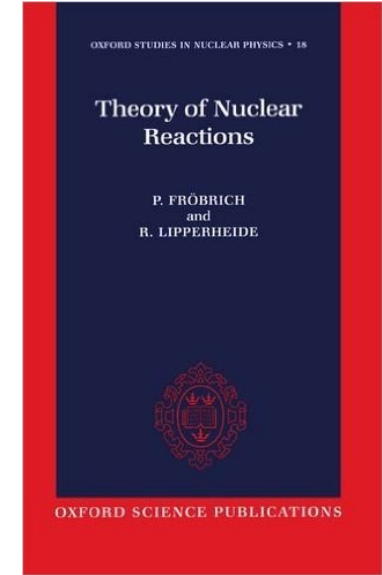
NUCLEAR
COLLECTIVE
MOTION

Models and Theory



David J. Rowe

World Scientific



Theory of Nuclear
Reactions

P. FROBRICH
and
R. LIPPERHEIDE

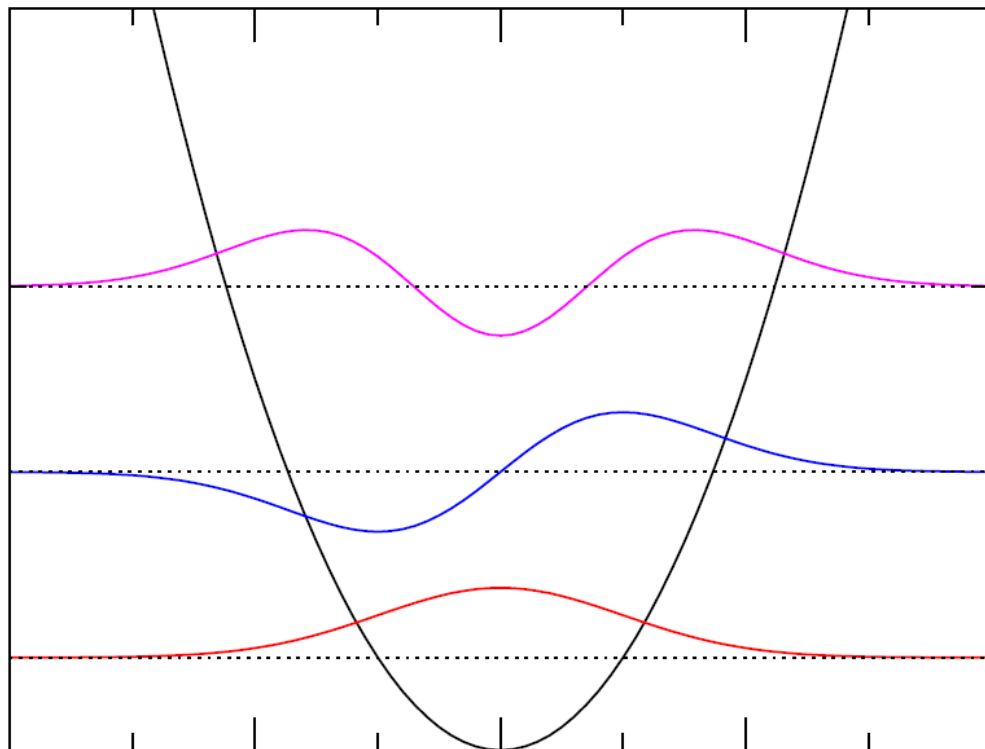


OXFORD SCIENCE PUBLICATIONS

Frobrich
-Lipperheide

励起状態

ポテンシャル中の1粒子の場合



原子核の励起状態

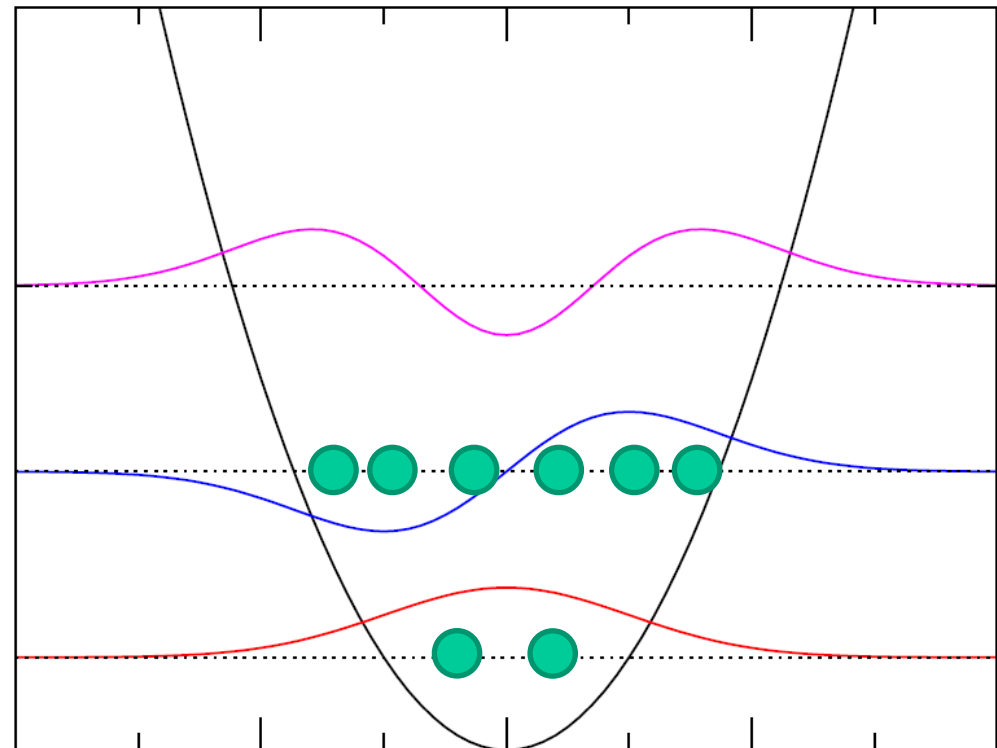
1d_{3/2}
2s_{1/2}
1d_{5/2}

1p_{1/2}
1p_{3/2}

1s_{1/2}

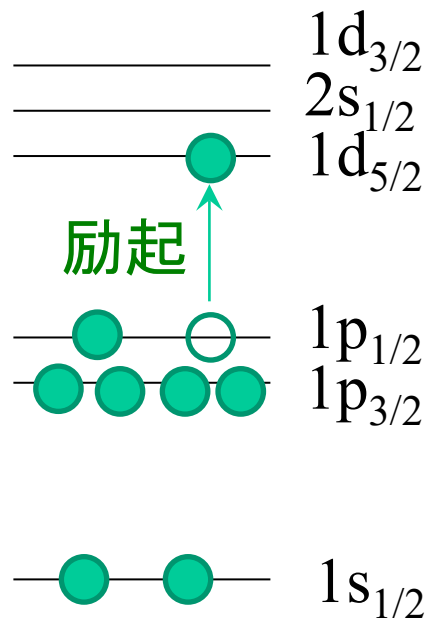
基底状態

多体系の場合

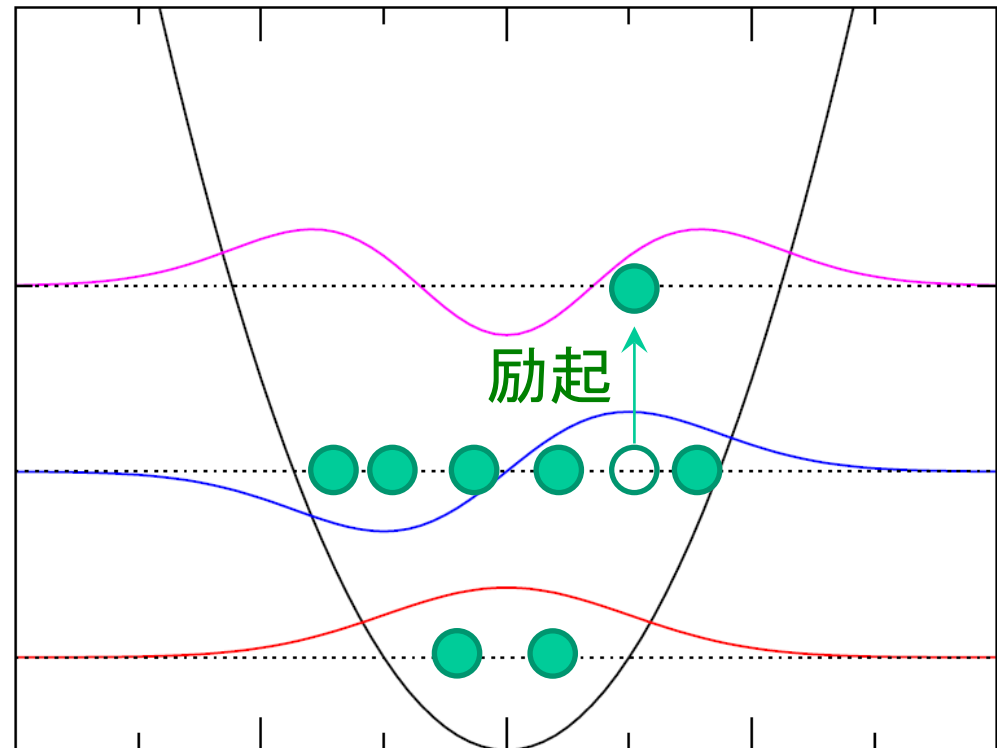


基底状態

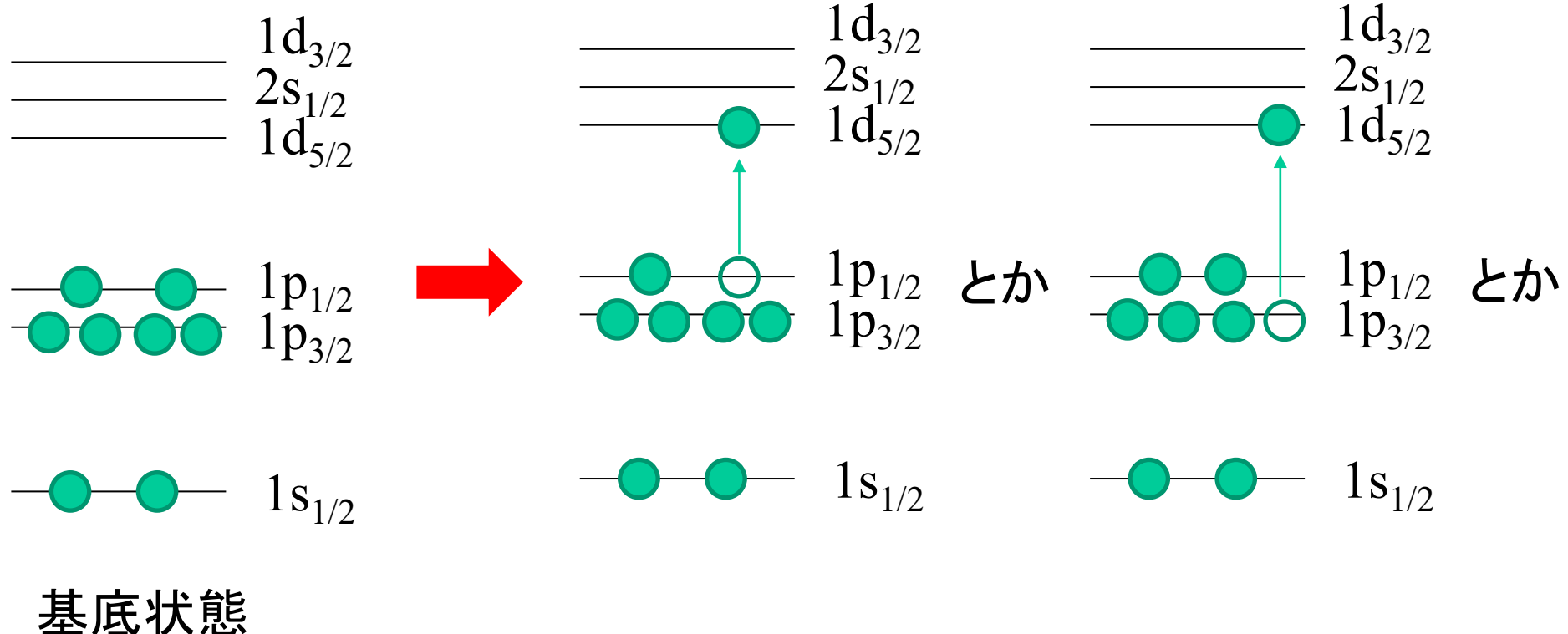
原子核の励起状態

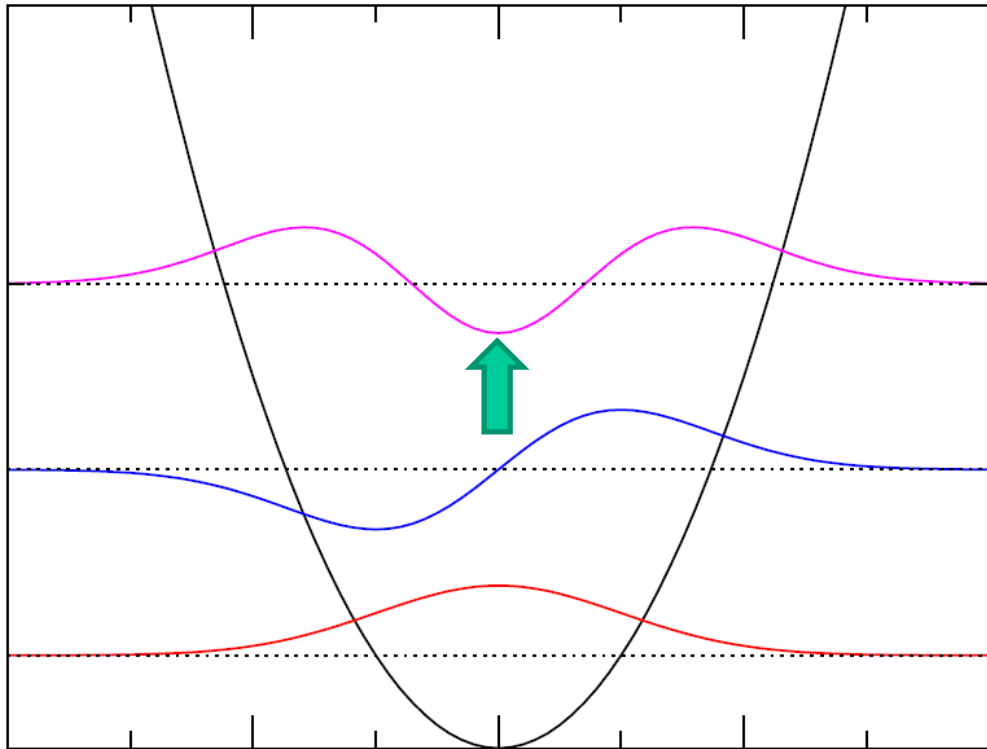


多体系の場合



原子核の励起状態





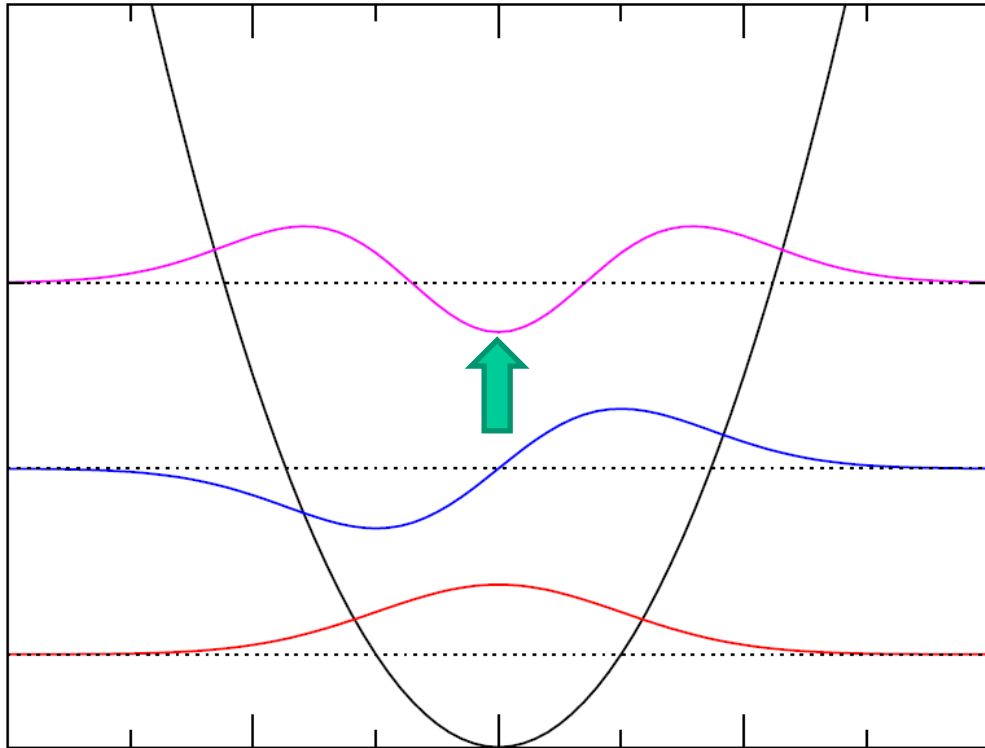
原子核では

$$\hbar\omega \sim 41 A^{-1/3} \text{ (MeV)}$$

$$\leftarrow R \sim 1.2 A^{1/3} \text{ (fm)}$$

$$A = 16 \text{ だと } 16.27 \text{ MeV}$$

cf. 実際に、 ^{16}O の16.2 MeV
に 1- 状態



原子核では

$$\hbar\omega \sim 41 A^{-1/3} \text{ (MeV)}$$

$$\leftarrow R \sim 1.2 A^{1/3} \text{ (fm)}$$

$$A = 16 \text{ だと } 16.27 \text{ MeV}$$

cf. 実際に、 ${}^{16}\text{O}$ の16.2 MeV
に 1- 状態

.....でも実際にはこのように理解できない励起状態
も多数存在する(集団励起)

Giant Dipole Resonance (GDR) 巨大双極子共鳴

光吸收の
スペクトル

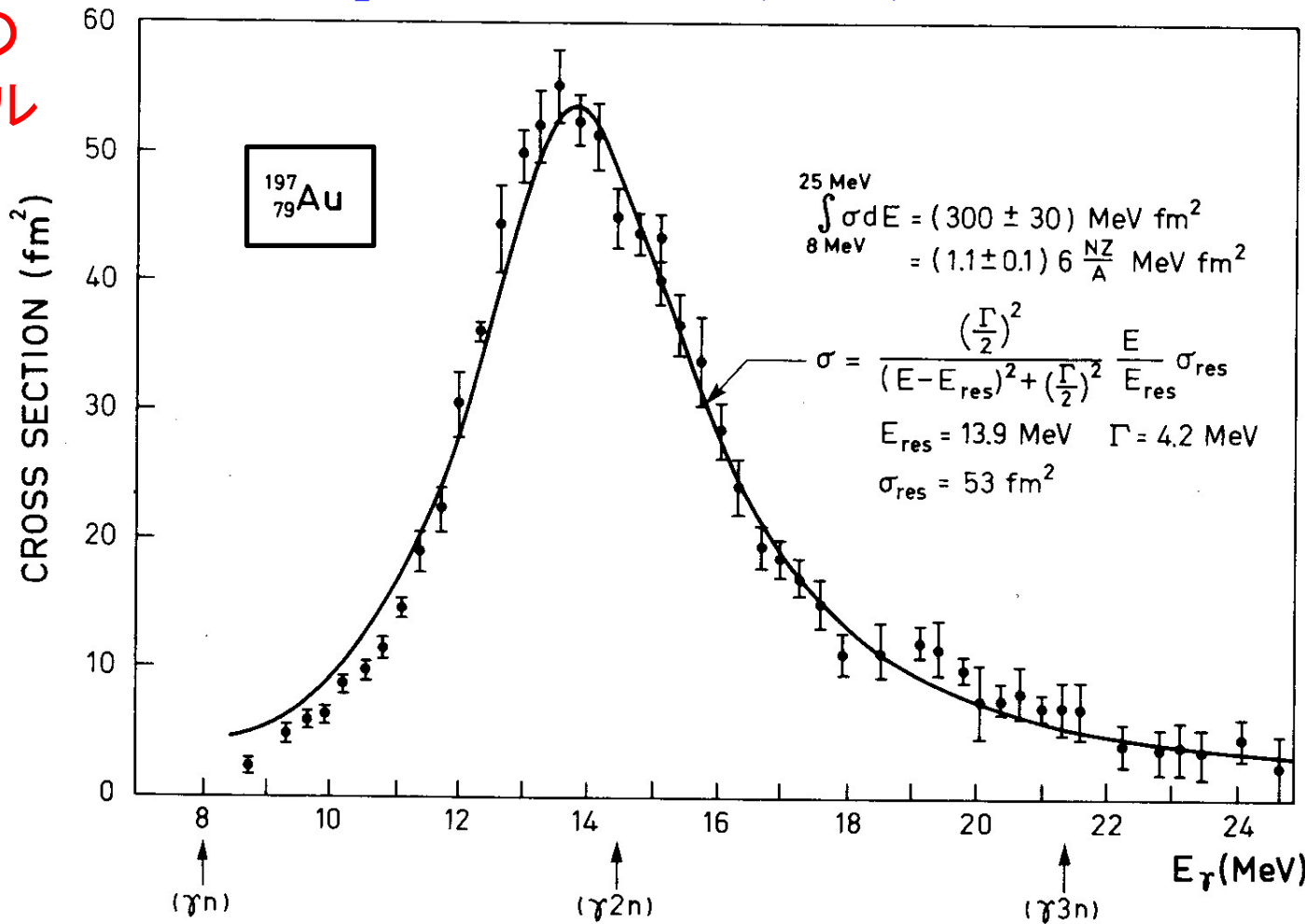


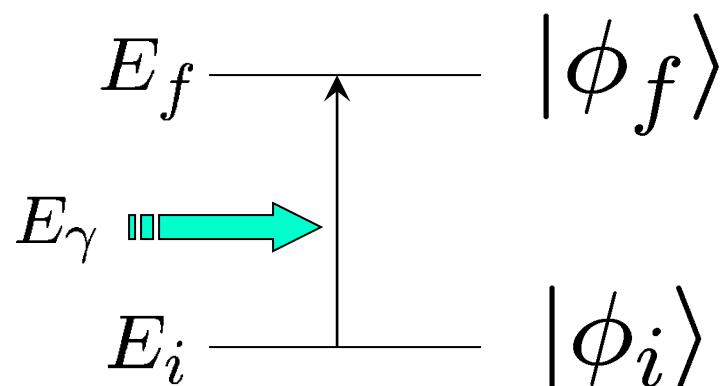
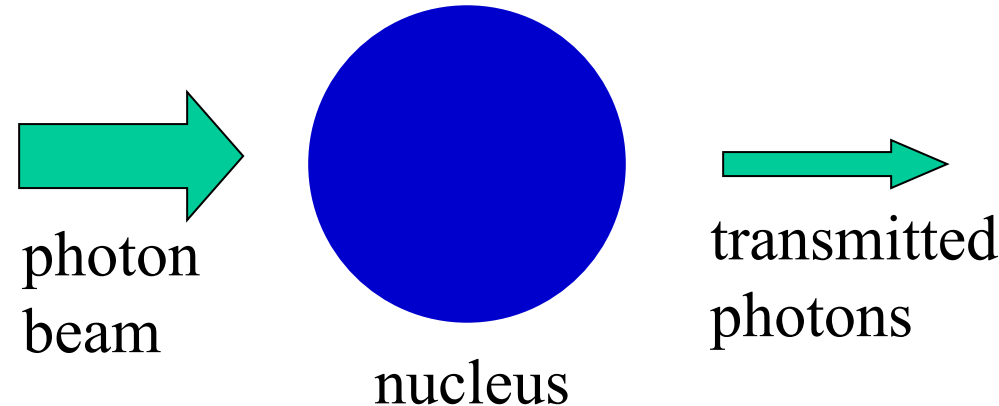
Figure 6-18 Total photoabsorption cross section for ^{197}Au . The experimental data are from S. C. Fultz, R. L. Bramblett, J. T. Caldwell, and N. A. Kerr, *Phys. Rev.* **127**, 1273 (1962). The solid curve is of Breit-Wigner shape with the indicated parameters.

$$\text{cf. } 41 \times 197^{-1/3} = 7.05 \text{ MeV}$$

Collective Vibrations

How does a nucleus respond to an external perturbation?

i) Photo absorption cross section



The state is strongly excited when
 $E_f - E_i = E_\gamma$.

Giant Dipole Resonance (GDR) 巨大双極子共鳴

光吸收の
スペクトル

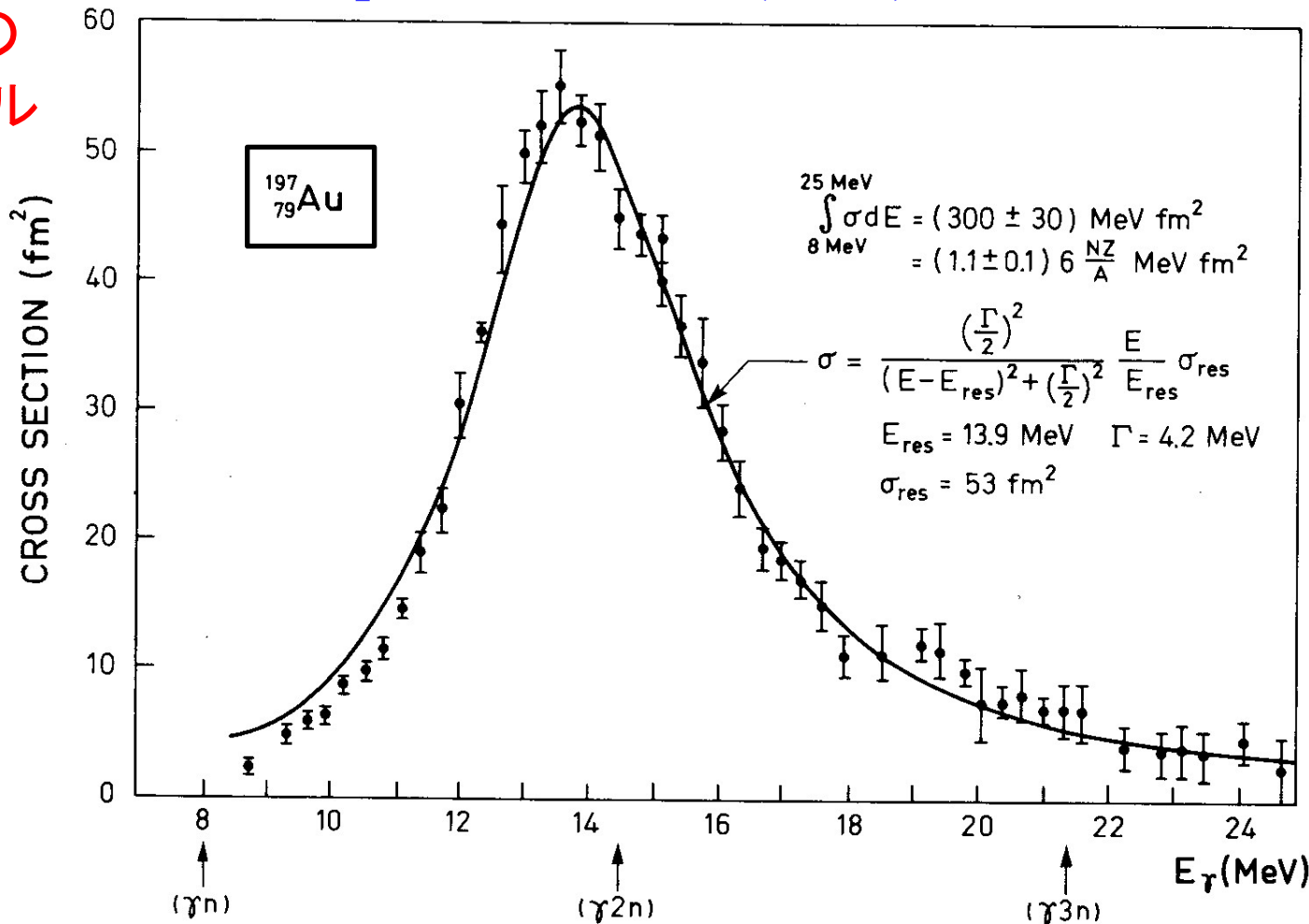


Figure 6-18 Total photoabsorption cross section for ^{197}Au . The experimental data are from S. C. Fultz, R. L. Bramblett, J. T. Caldwell, and N. A. Kerr, *Phys. Rev.* **127**, 1273 (1962). The solid curve is of Breit-Wigner shape with the indicated parameters.

$$\text{cf. } 41 \times 197^{-1/3} = 7.05 \text{ MeV}$$

Remarks

i) Photon interaction \longleftrightarrow dipole excitation

$$H_{\text{int}} = \frac{1}{2m} \frac{e}{c} (\mathbf{p} \cdot \mathbf{A} + \mathbf{A} \cdot \mathbf{p})$$

$$\mathbf{A}(\mathbf{r}, t) = \sum_{\mathbf{k}} \sum_{\alpha=1,2} \sqrt{\frac{2\pi c^2 \hbar}{\omega V}} (a_{\mathbf{k}\alpha} \epsilon_{\alpha} e^{i\mathbf{k} \cdot \mathbf{r} - i\omega_k t} + h.c.)$$

$$e^{i\mathbf{k} \cdot \mathbf{r}} \sim 1 \quad (\text{dipole approximation})$$

Remarks

i) Photon interaction \longleftrightarrow dipole excitation

$$H_{\text{int}} = \frac{1}{2m} \frac{e}{c} (\mathbf{p} \cdot \mathbf{A} + \mathbf{A} \cdot \mathbf{p})$$

$$\mathbf{A}(\mathbf{r}, t) = \sum_{\mathbf{k}} \sum_{\alpha=1,2} \sqrt{\frac{2\pi c^2 \hbar}{\omega V}} (a_{\mathbf{k}\alpha} \epsilon_{\alpha} e^{i\mathbf{k} \cdot \mathbf{r} - i\omega_k t} + h.c.)$$

$$e^{i\mathbf{k} \cdot \mathbf{r}} \sim 1 \quad (\text{dipole approximation})$$

$$E_{\gamma} = 10 \text{ MeV}, R = 5 \text{ fm}$$

ただし $kR \sim 0.25$



$$\sigma_{\text{abs}}(E_{\gamma}) = \frac{4\pi^2 e^2}{\hbar c} (E_f - E_i) |\langle \phi_f | \tilde{z} | \phi_i \rangle|^2 \delta(E_{\gamma} - E_f + E_i)$$

$$\tilde{z} = \sum_p (z_p - Z_{cm})$$

Remarks

i) Photon interaction \longleftrightarrow dipole excitation

$$H_{\text{int}} = \frac{1}{2m} \frac{e}{c} (\mathbf{p} \cdot \mathbf{A} + \mathbf{A} \cdot \mathbf{p})$$

$$\mathbf{A}(\mathbf{r}, t) = \sum_{\mathbf{k}} \sum_{\alpha=1,2} \sqrt{\frac{2\pi c^2 \hbar}{\omega V}} (a_{\mathbf{k}\alpha} \epsilon_{\alpha} e^{i\mathbf{k} \cdot \mathbf{r} - i\omega_k t} + h.c.)$$

$$e^{i\mathbf{k} \cdot \mathbf{r}} \sim 1 \quad (\text{dipole approximation})$$

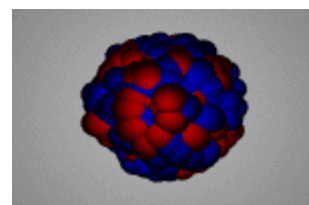
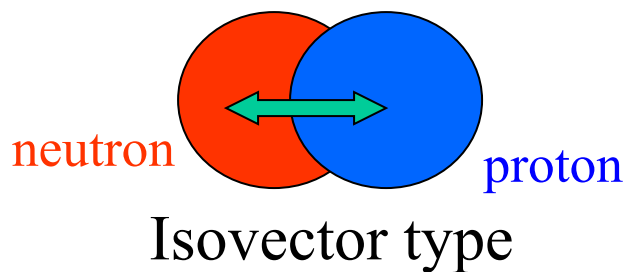
$$E_{\gamma} = 10 \text{ MeV}, R = 5 \text{ fm}$$

たゞ $kR \sim 0.25$



$$\sigma_{\text{abs}}(E_{\gamma}) = \frac{4\pi^2 e^2}{\hbar c} (E_f - E_i) |\langle \phi_f | \tilde{z} | \phi_i \rangle|^2 \delta(E_{\gamma} - E_f + E_i)$$

ii) Isospin



(note)

$\tilde{z} = \sum_p (z_p - Z_{cm})$

A diagram showing a blue sphere with a red ring around its equator. Two green arrows, one pointing left and one pointing right, are shown on the equator, representing isoscalar dipole motion. Below this diagram is the text "Isoscalar dipole motion \longleftrightarrow c.m. motion (to the first order)".

Remarks

i) Photon interaction \longleftrightarrow dipole excitation

$$H_{\text{int}} = \frac{1}{2m} \frac{e}{c} (\mathbf{p} \cdot \mathbf{A} + \mathbf{A} \cdot \mathbf{p})$$

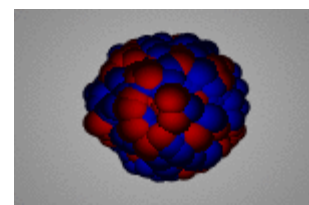
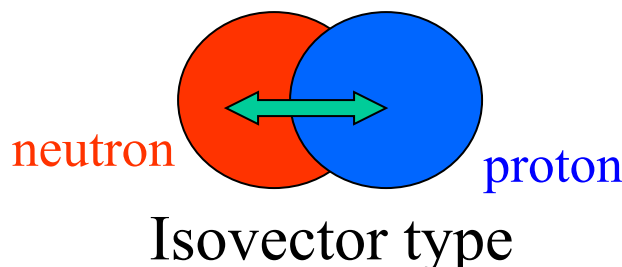
$$\mathbf{A}(\mathbf{r}, t) = \sum_{\mathbf{k}} \sum_{\alpha=1,2} \sqrt{\frac{2\pi c^2 \hbar}{\omega V}} (a_{\mathbf{k}\alpha} \epsilon_{\alpha} e^{i\mathbf{k} \cdot \mathbf{r} - i\omega_k t} + h.c.)$$

$$e^{i\mathbf{k} \cdot \mathbf{r}} \sim 1 \quad (\text{dipole approximation})$$



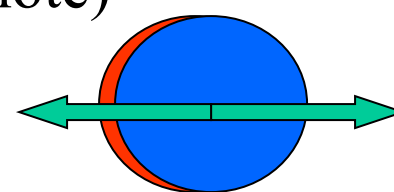
$$\sigma_{\text{abs}}(E_{\gamma}) = \frac{4\pi^2 e^2}{\hbar c} (E_f - E_i) |\langle \phi_f | \tilde{z} | \phi_i \rangle|^2 \delta(E_{\gamma} - E_f + E_i)$$

ii) Isospin



(note)

$$\tilde{z} = \sum_p (z_p - Z_{cm})$$



Isoscalar dipole motion

\longleftrightarrow c.m. motion (to the first order)

iii) Collective motion

Motion of the whole nucleus rather than a single-particle motion

$$E\gamma = 10 \text{ MeV}, R = 5 \text{ fm}$$

だと $kR \sim 0.25$

Giant Dipole Resonance (GDR) 巨大双極子共鳴

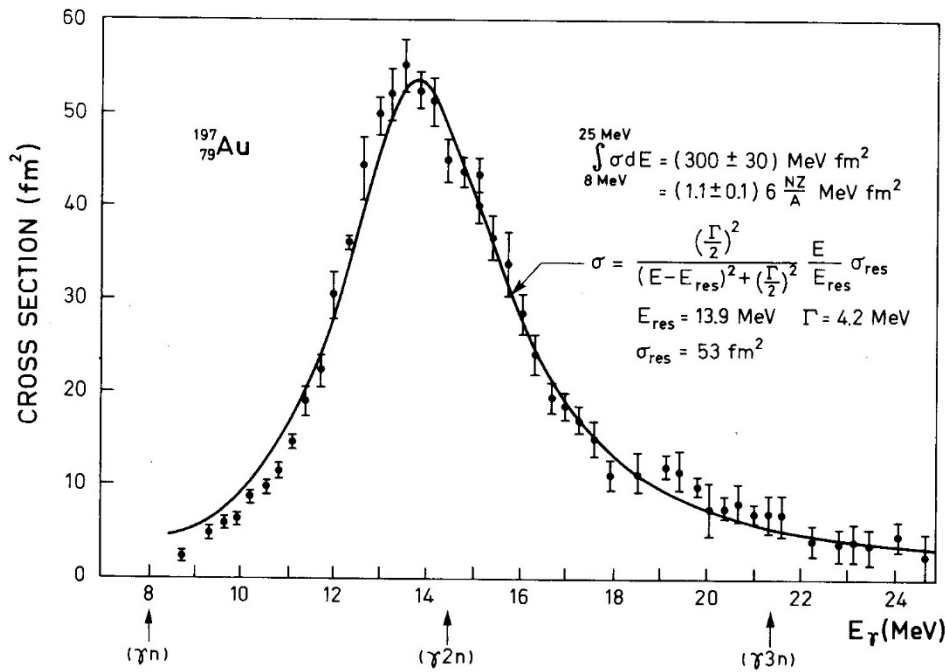
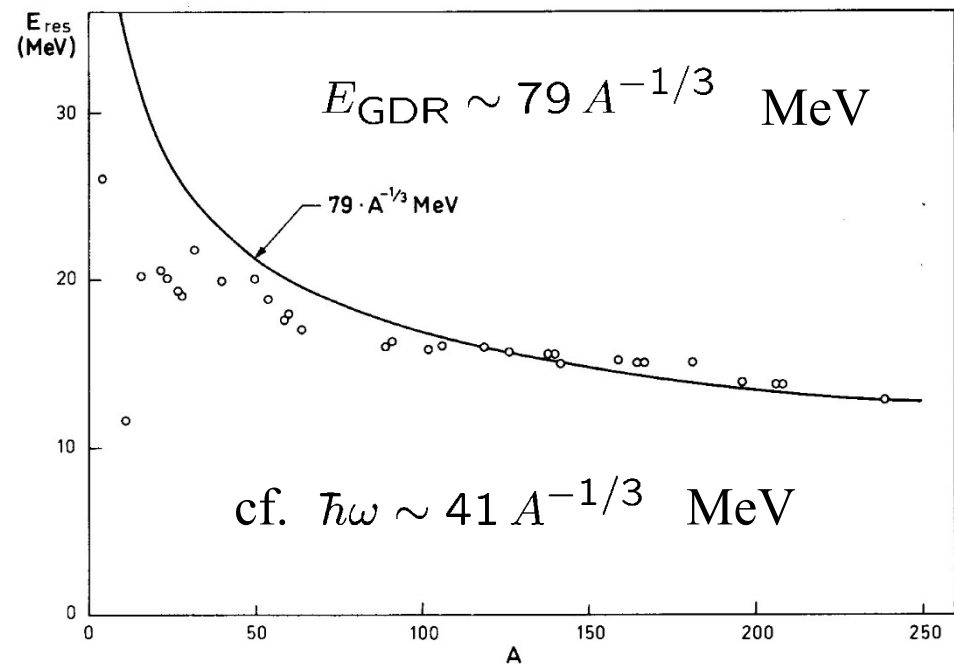
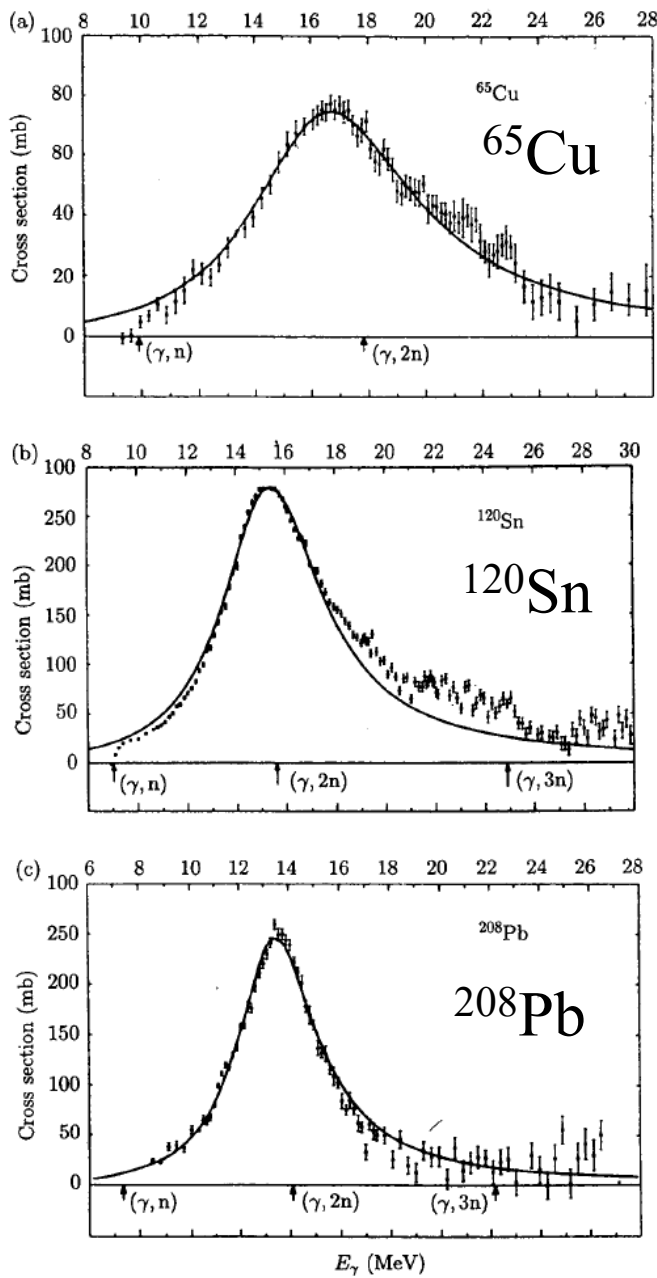


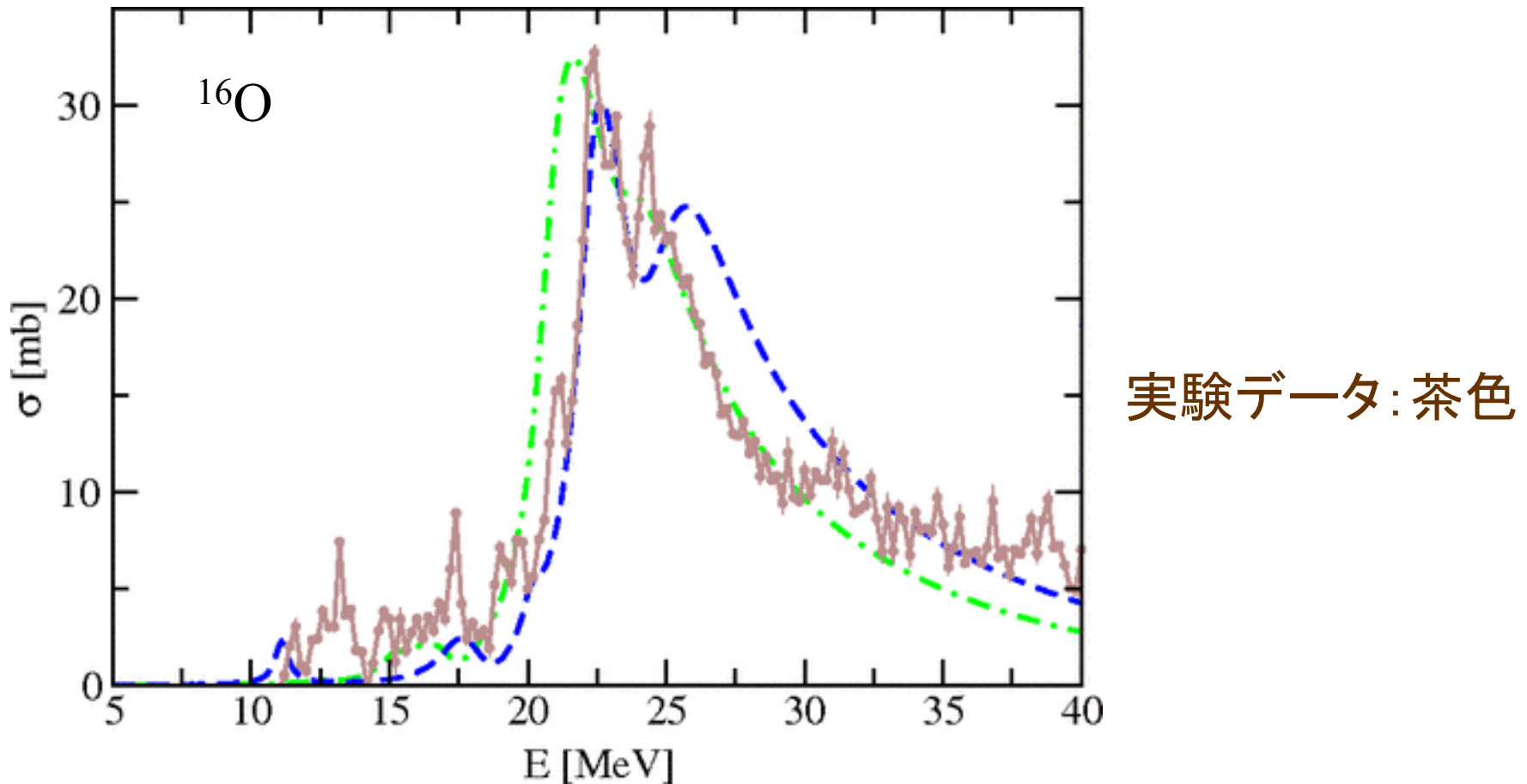
Figure 6-18 Total photoabsorption cross section for ^{197}Au . The experimental data are from S. C. Fultz, R. L. Bramblett, J. T. Caldwell, and N. A. Kerr, *Phys. Rev.* **127**, 1273 (1962). The solid curve is of Breit-Wigner shape with the indicated parameters.



Bohr-Mottelson
“Nuclear Structure vol. II”

M.N. Harakeh and A. van der Woude,
“Giant Resonances”

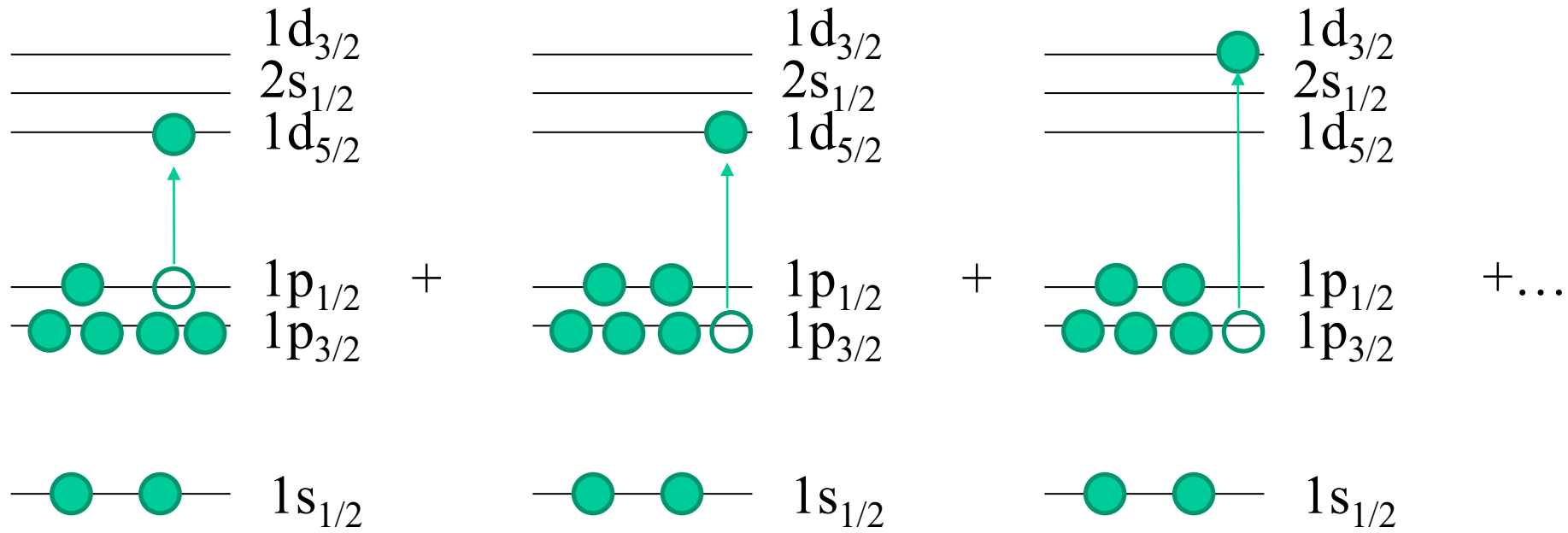
FIG. 1.2. The photo-neutron cross section $\sigma(\gamma, \text{n})$ as a function of the photon energy for the three nuclei ^{208}Pb , ^{120}Sn and ^{65}Cu . Note that for these nuclei $\sigma(\gamma, \text{n}) \approx \sigma_{\text{abs}}(\gamma)$. From reference (BER75).



N. Lyutorovich et al., Phys. Rev. Lett. 109 (2012) 092502

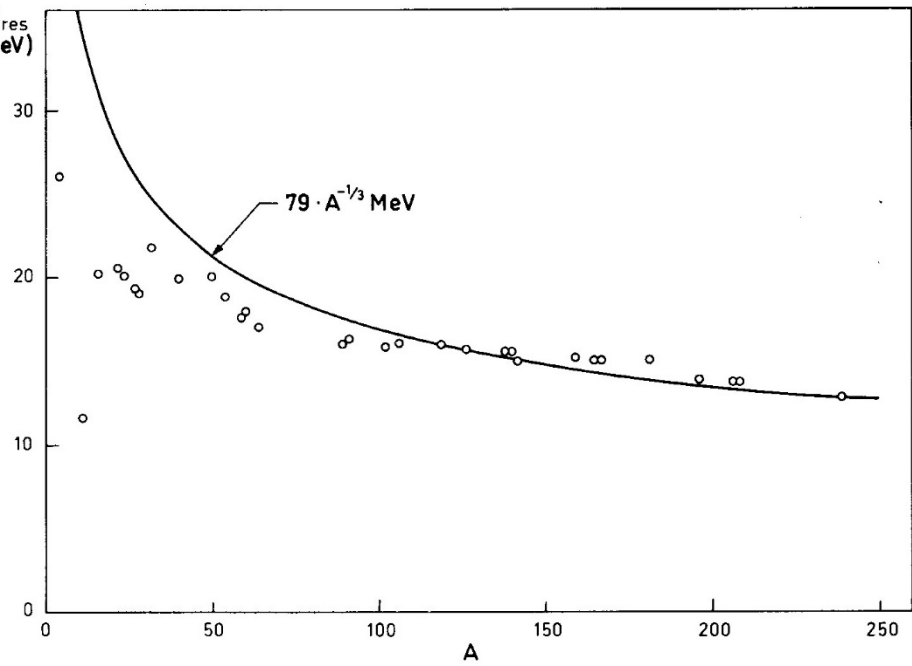
$$\text{cf. } 41 \times 16^{-1/3} = 16.27 \text{ MeV}$$

何故励起エネルギーが大きくなるのか？

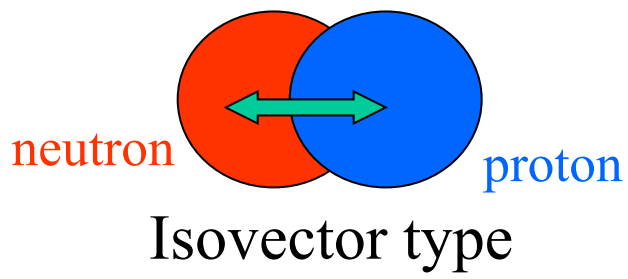


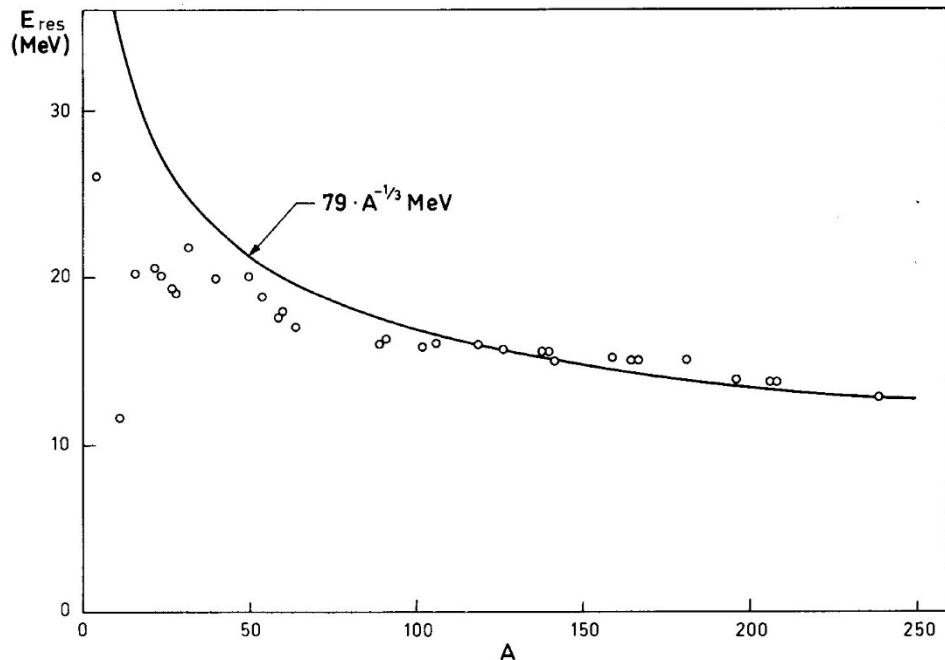
様々な励起状態がコヒーレントに重ね合わさることにより
「集団的」になる。→(次回もう少し詳しく)

残留相互作用が大きな役割



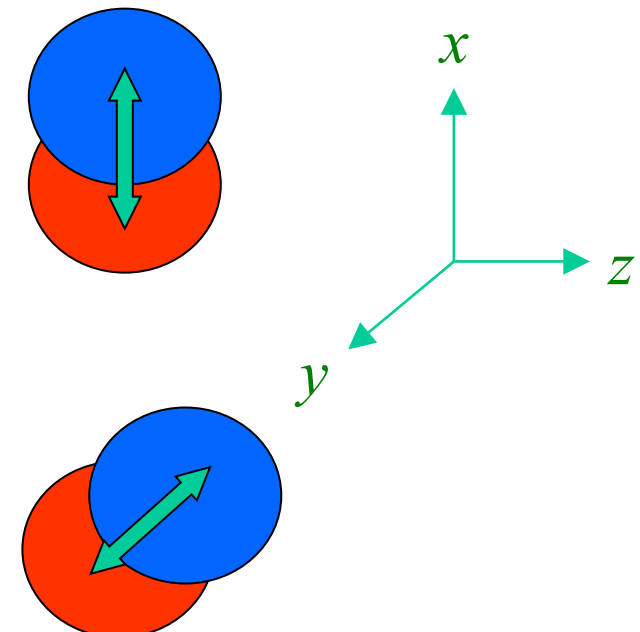
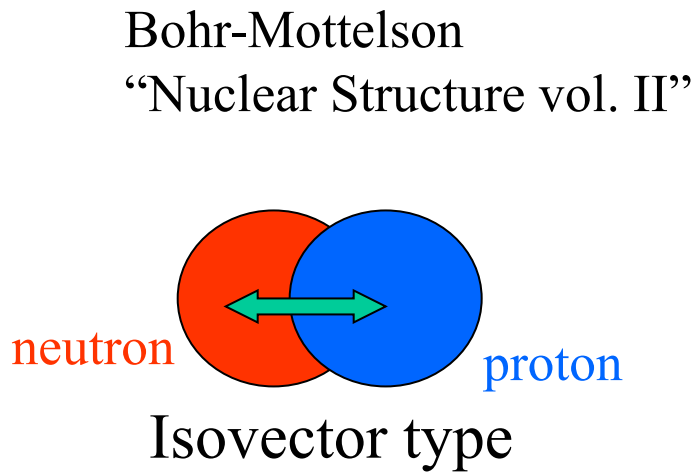
Bohr-Mottelson “Nuclear Structure vol. II”

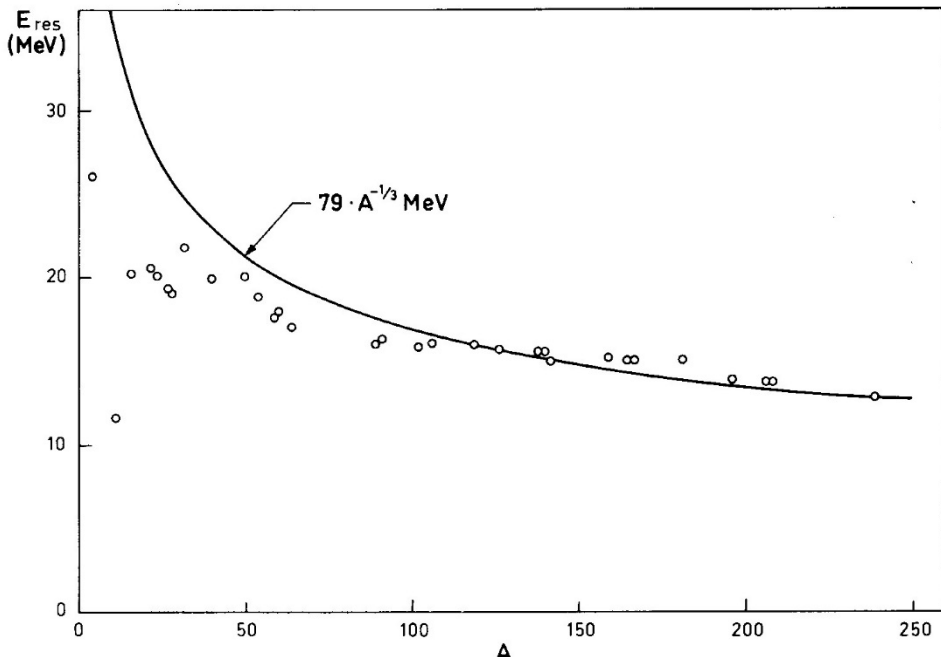




$$E_{\text{GDR}} \propto A^{-1/3}$$

3つのモード

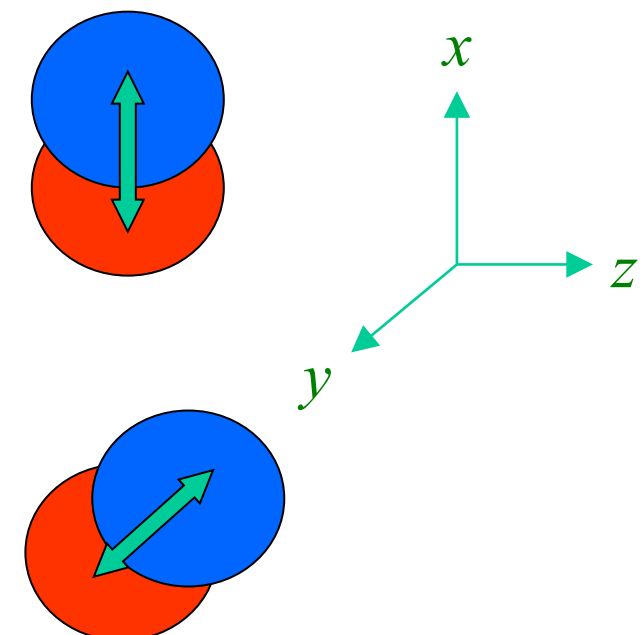
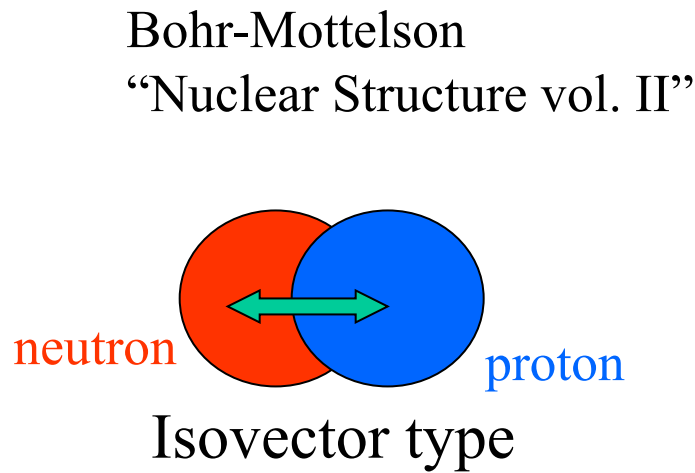




$$E_{\text{GDR}} \propto A^{-1/3}$$

$$\propto 1/R$$

3つのモード



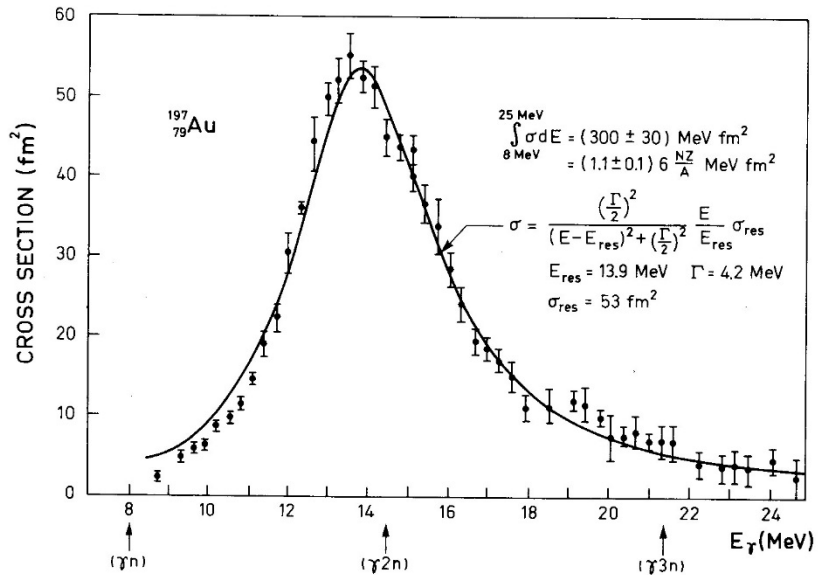
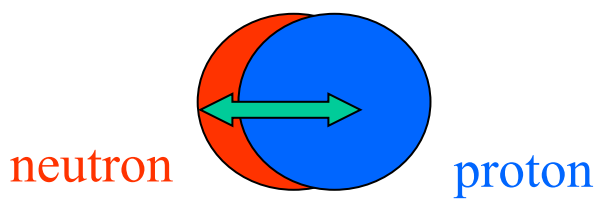
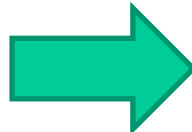


Figure 6-18 Total photoabsorption cross section for ^{197}Au . The experimental data are from S. C. Fultz, R. L. Bramblett, J. T. Caldwell, and N. A. Kerr, *Phys. Rev.* **127**, 1273 (1962). The solid curve is of Breit-Wigner shape with the indicated parameters.

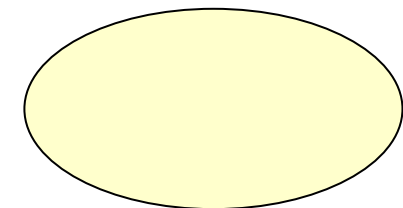


$$E_{\text{GDR}} \propto 1/R$$

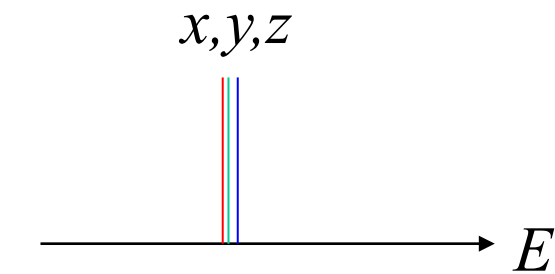


?

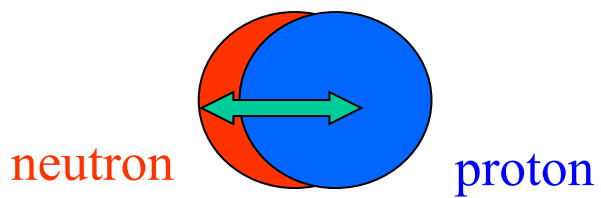
deformed nucleus



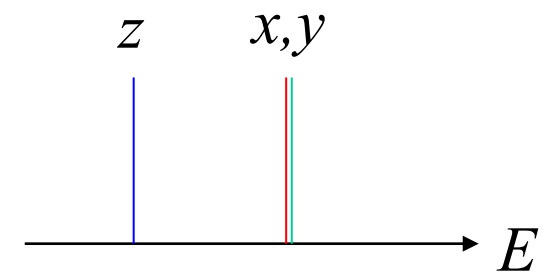
(prolate deformation)



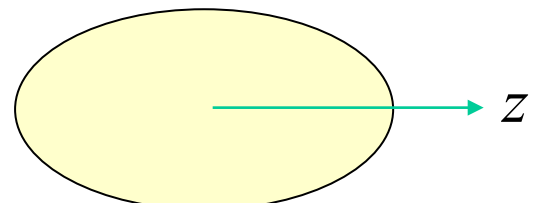
spherical nucleus

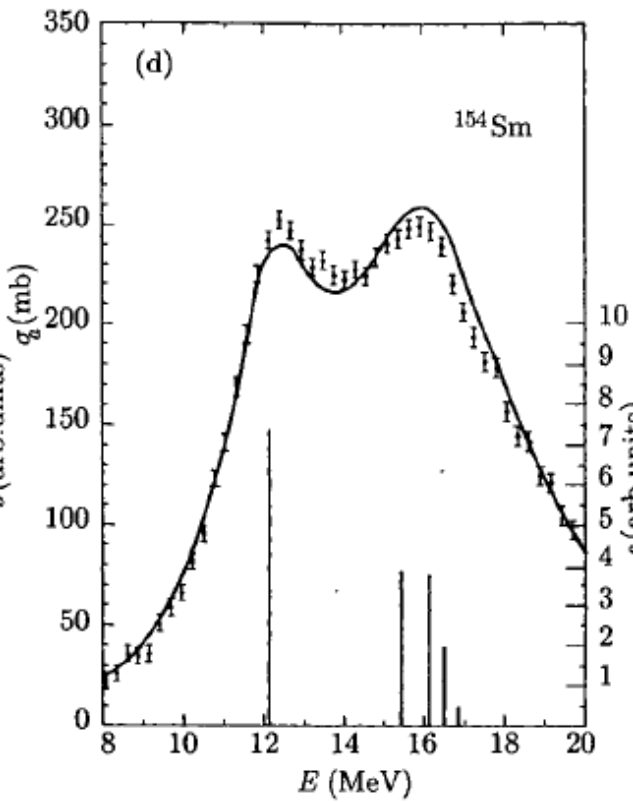
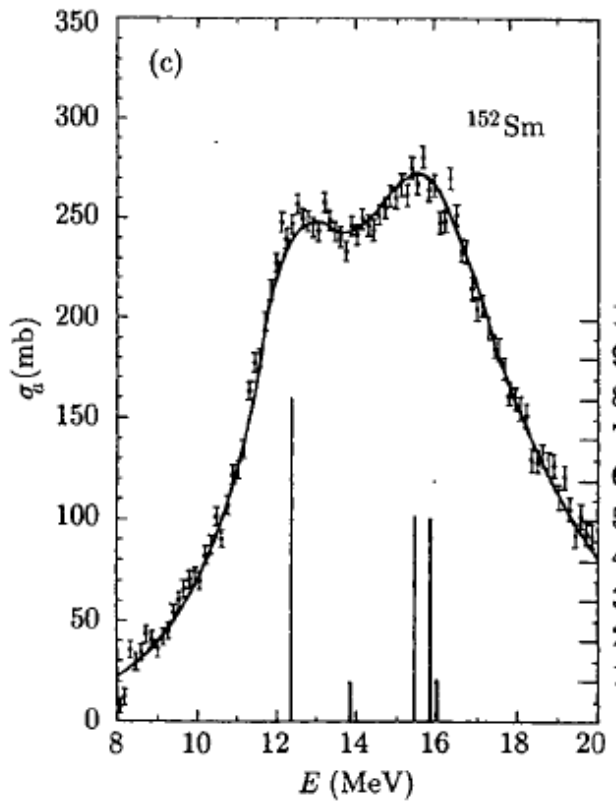


$$E_{\text{GDR}} \propto 1/R$$



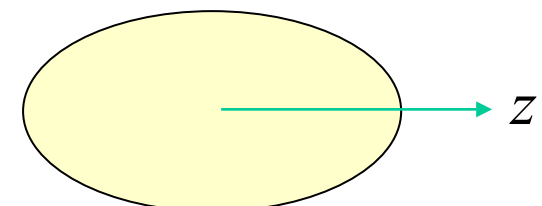
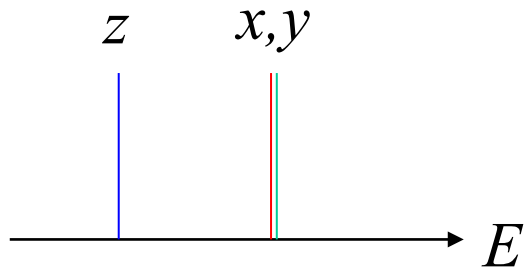
deformed nucleus





(prolate deformation)

deformed nucleus



M.N. Harakeh and
A. van der Woude,
“Giant Resonances”

Deformation effect

$$E_{\text{GDR}} \sim A^{-1/3} \sim 1/R$$

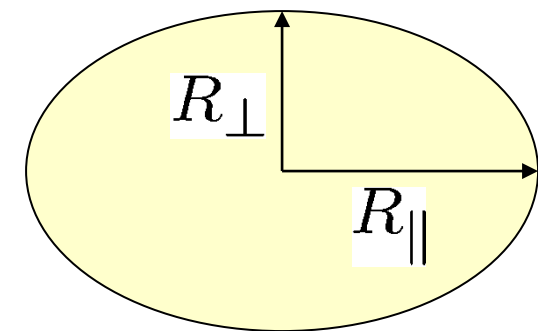
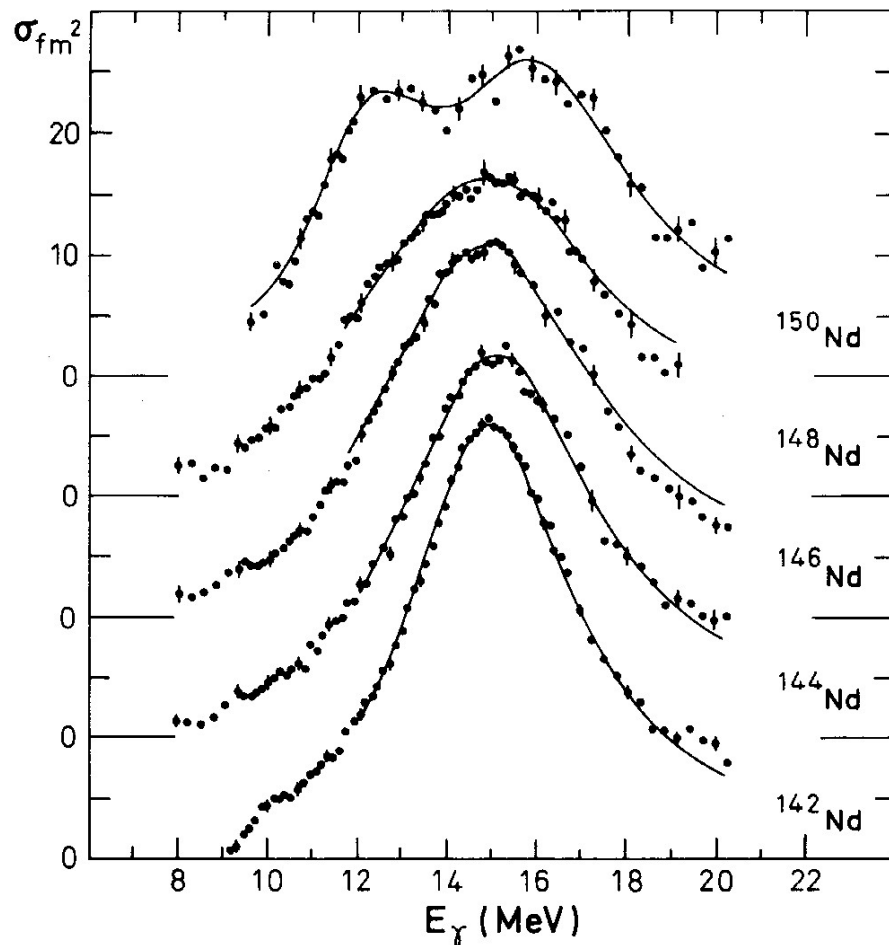
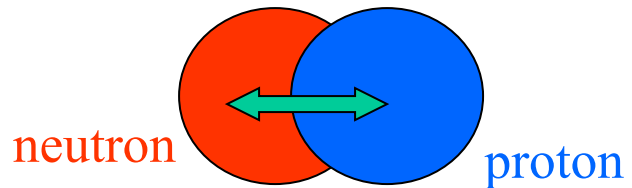


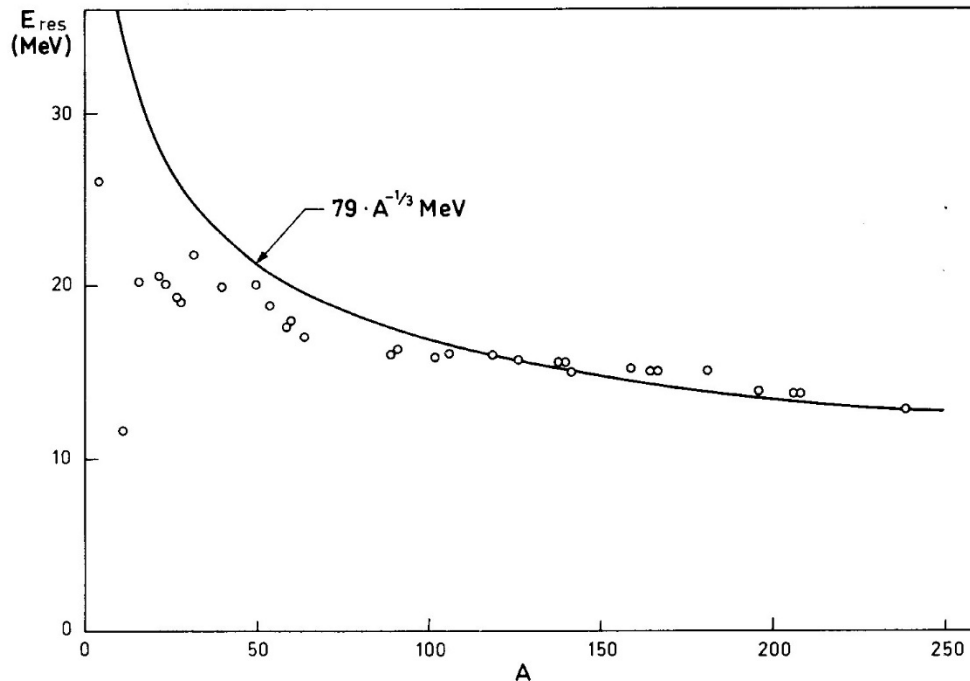
Figure 6-21 Photoabsorption cross section for even isotopes of neodymium. The experimental data are from P. Carlos, H. Beil, R. Bergère, A. Lepretre, and A. Veyssiére, *Nuclear Phys.* **A172**, 437 (1971). The solid curves represent Lorentzian fits with the parameters given in Table 6-6.

Giant Dipole Resonances

- Goldhaber-Teller type

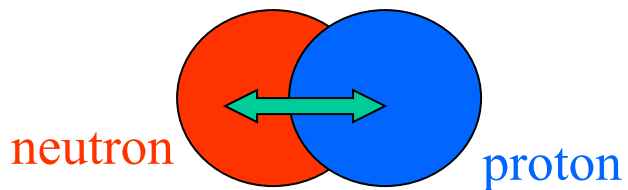


$$\begin{aligned}\hat{Q} &= r Y_{1\mu}(\hat{r}) \tau_z \\ \longrightarrow \hbar\omega &\sim A^{-1/6} \\ \longrightarrow &\text{Inconsistent with expt.} \\ &\text{(except for light nuclei)}\end{aligned}$$



Giant Dipole Resonances

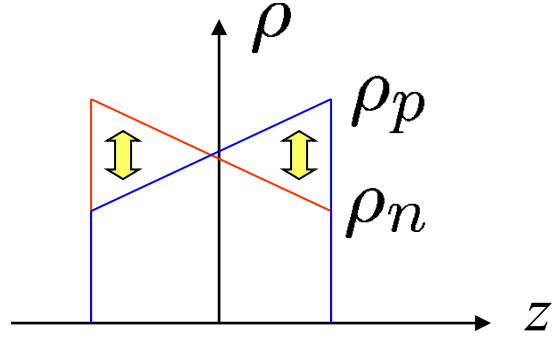
- Goldhaber-Teller type



$$\hat{Q} = r Y_{1\mu}(\hat{r}) \tau_z$$

➡ $\hbar\omega \sim A^{-1/6}$

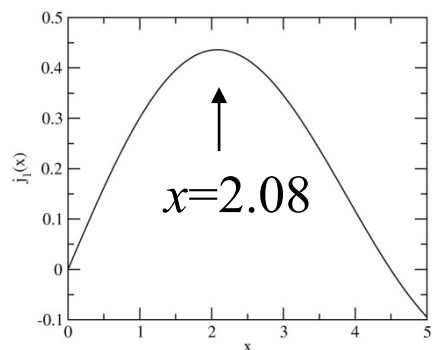
- Steinwedel-Jensen type



$$\hat{Q} = j_1(kr) Y_{1\mu}(\hat{r}) \tau_z$$

➡ $\hbar\omega \sim A^{-1/3}$

$$kR = 2.08$$



$$j_1(x) = (\sin x - x \cos x)/x^2$$

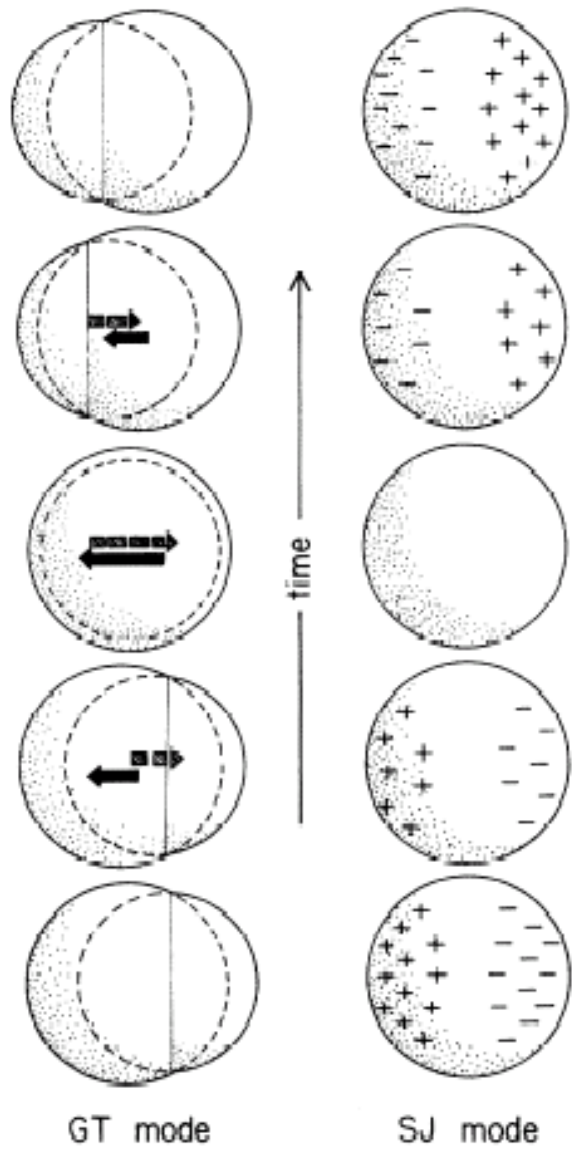


FIG. 1. Schematic drawings that serve to illustrate the general features of the Goldhaber-Teller (Ref. 3) (GT) and Steinwedel-Jensen (Ref. 4) (SJ) dipole modes.

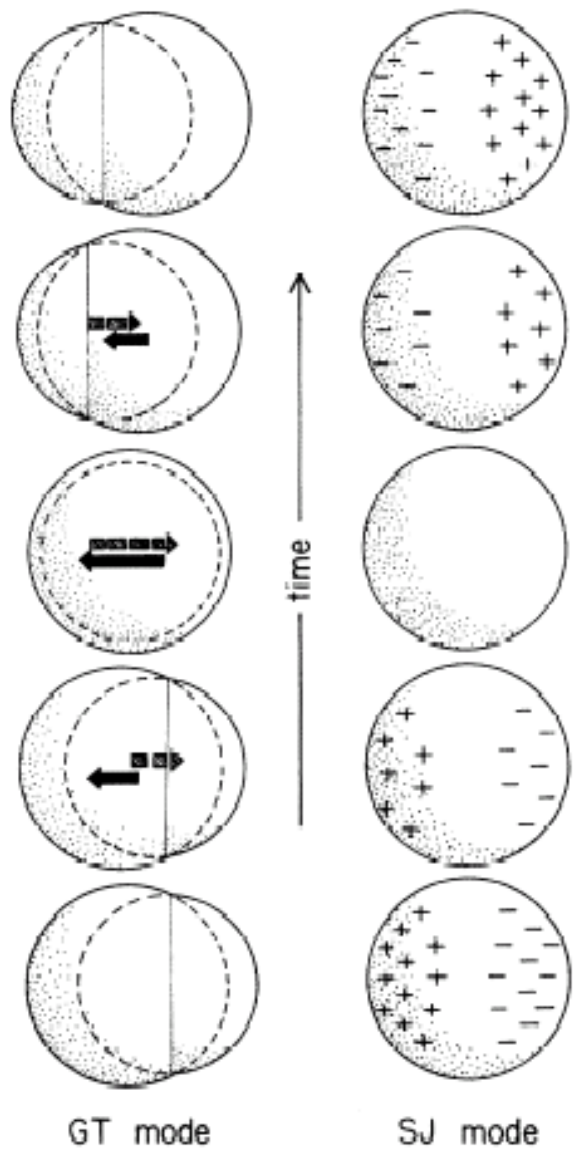
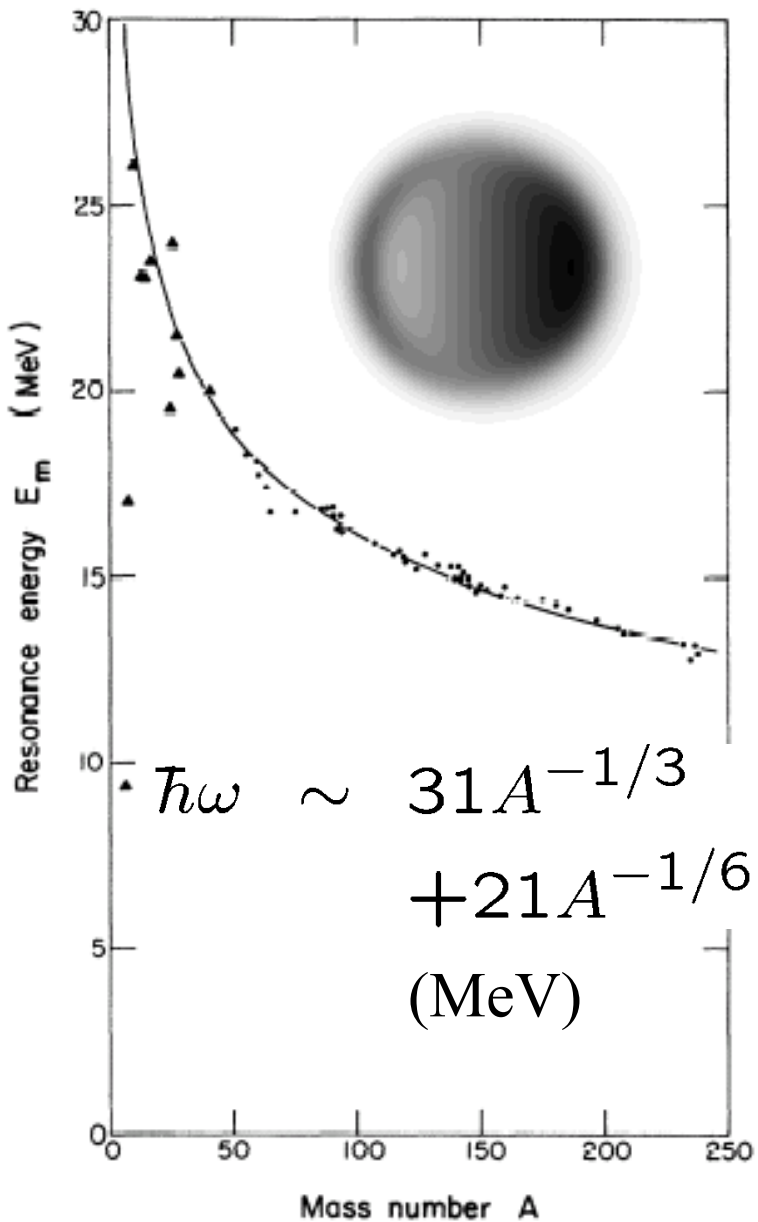
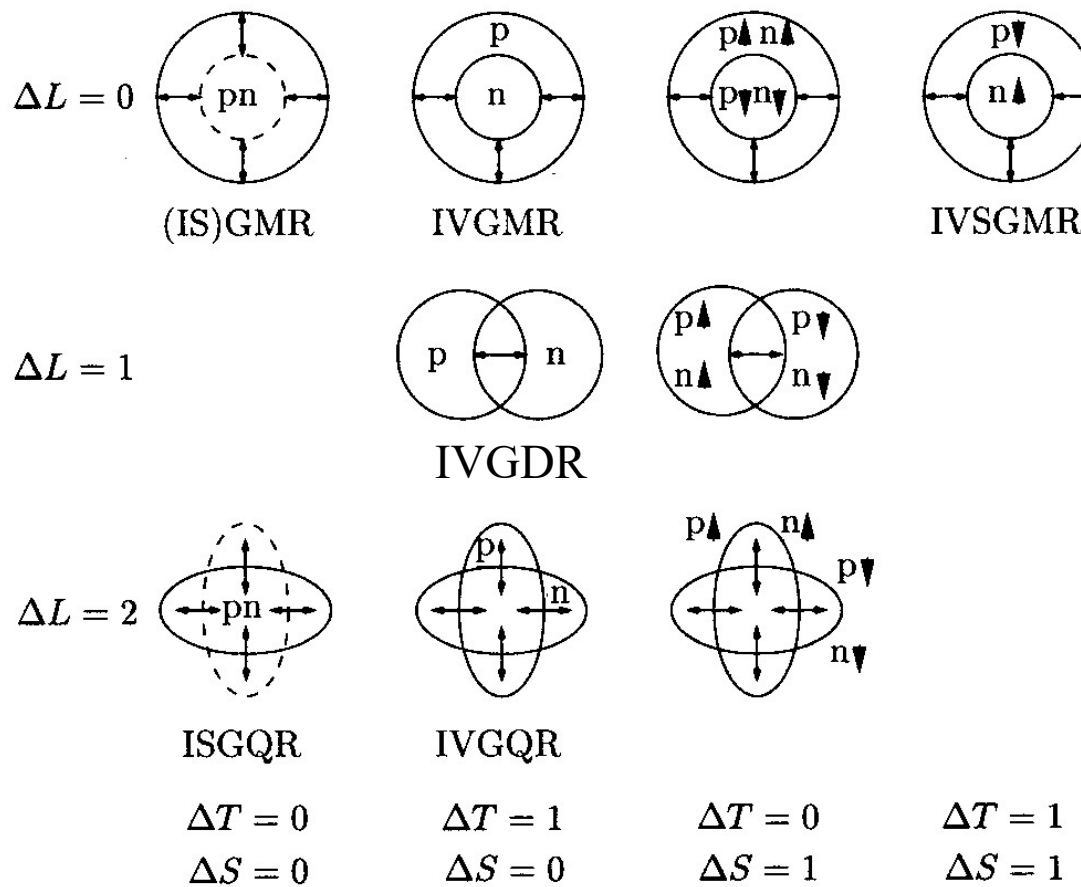


FIG. 1. Schematic drawings that serve to illustrate the general features of the Goldhaber-Teller (Ref. 3) (GT) and Steinwedel-Jensen (Ref. 4) (SJ) dipole modes.



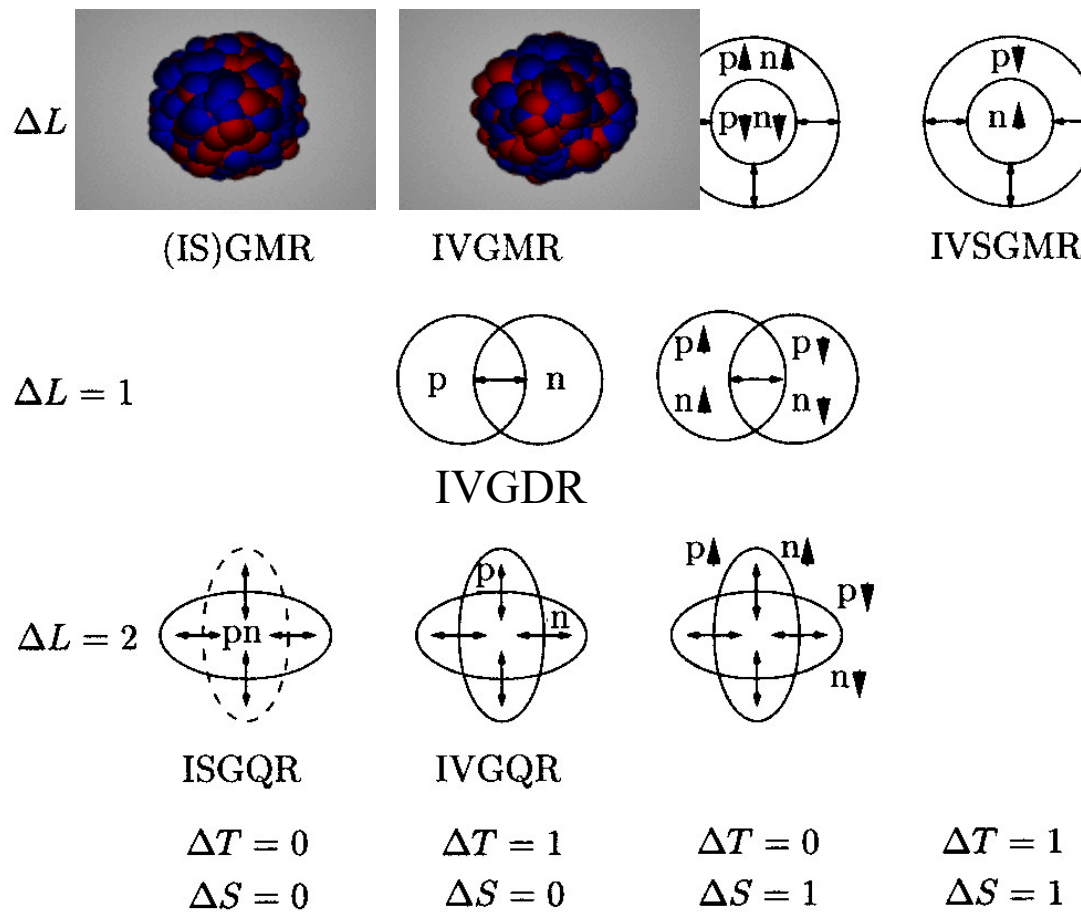
ii) Inelastic scattering

(e,e'), (p,p'), (α , α'), Heavy-ion  Higher multipolarities



ii) Inelastic scattering

(e,e'), (p,p'), (α , α'), Heavy-ion  Higher multipolarities

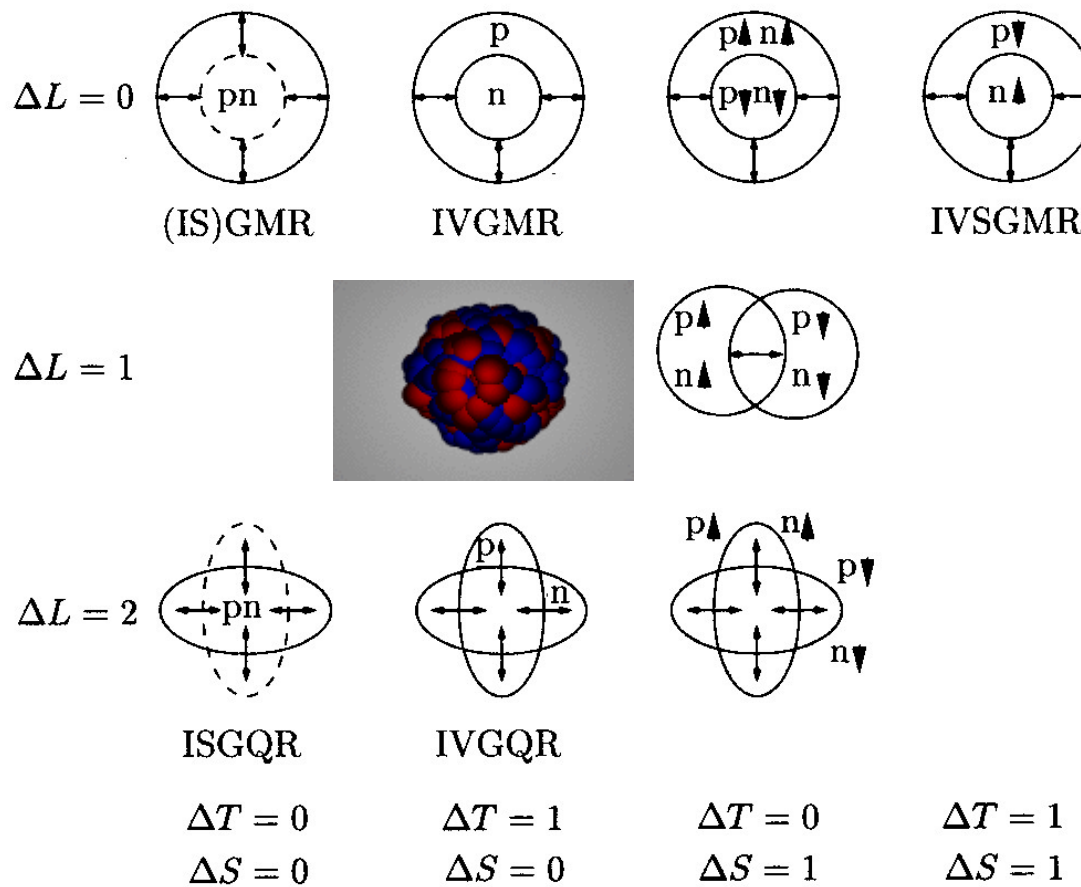


movies: H.-J. Wollersheim,

<https://web-docs.gsi.de/~wolle/TELEKOLLEG/KERN/index-s.html>

ii) Inelastic scattering

(e,e'), (p,p'), (α , α'), Heavy-ion  Higher multipolarities

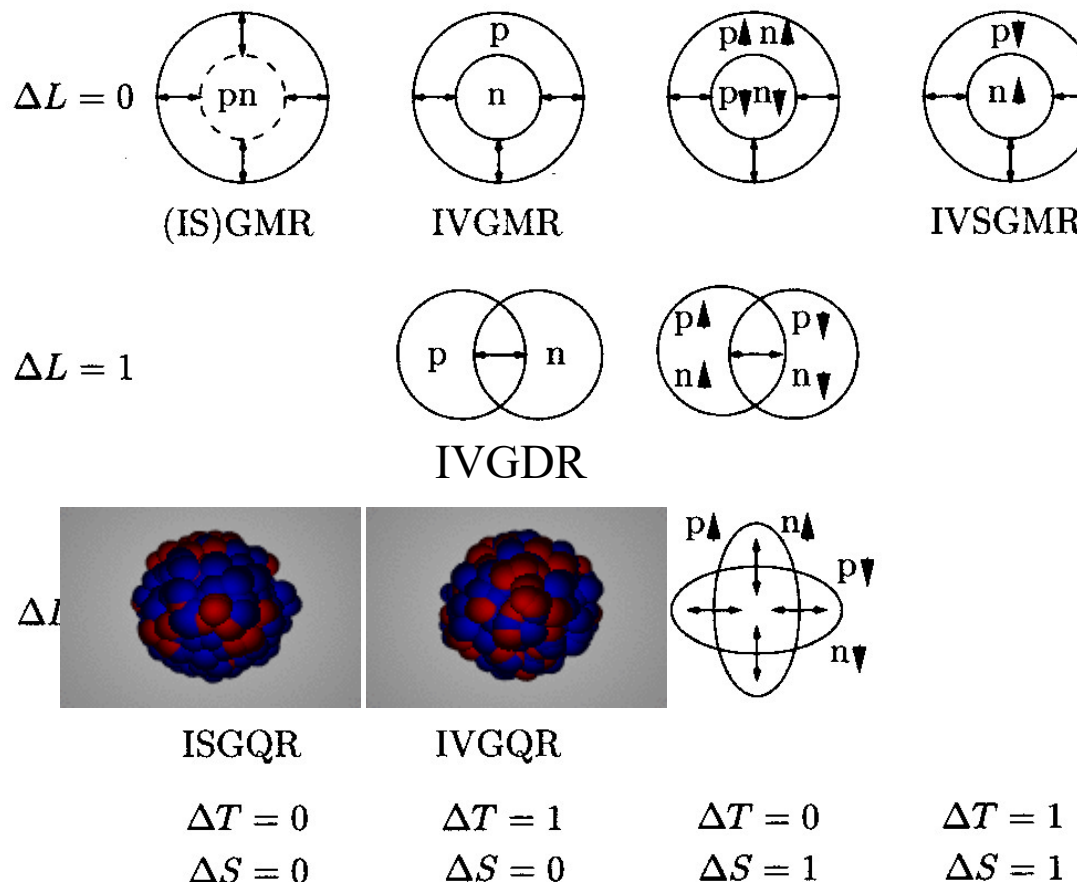


movies: H.-J. Wollersheim,

<https://web-docs.gsi.de/~wolle/TELEKOLLEG/KERN/index-s.html>

ii) Inelastic scattering

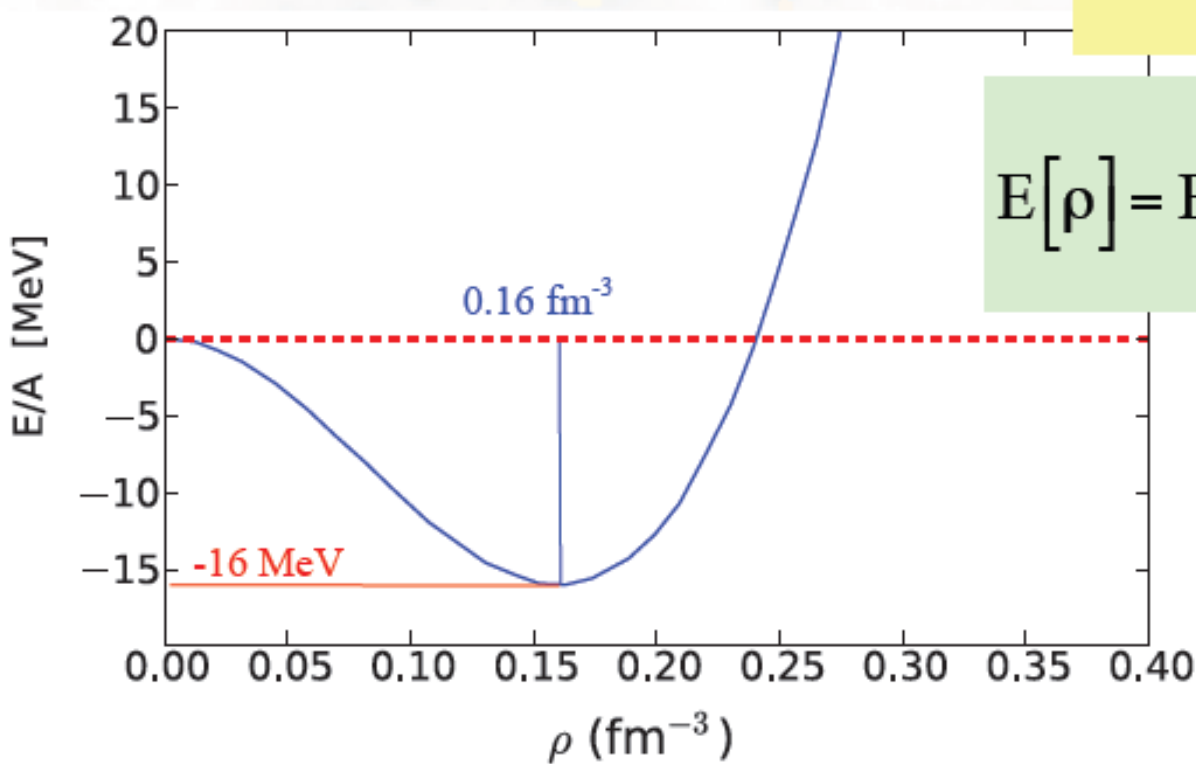
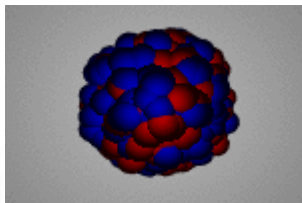
(e,e') , (p,p') , (α,α') , Heavy-ion \longrightarrow Higher multipolarities



(note) $\Delta L = 2 \longrightarrow \Delta N = 2$ Giant Resonance (GQR)

$\Delta N = 0$ Low-lying state

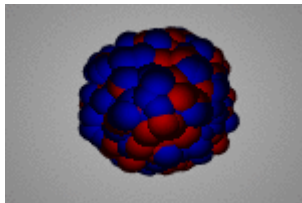
EOS of infinite nuclear matter



$$K_{\infty} = 9\rho^2 \left. \frac{d^2 [E(\rho) / \rho]}{d\rho^2} \right|_{\rho_0}$$

$$E[\rho] = E[\rho_0] + \frac{1}{18} K_{\infty} \left(\frac{\rho - \rho_0}{\rho_0} \right)^2$$

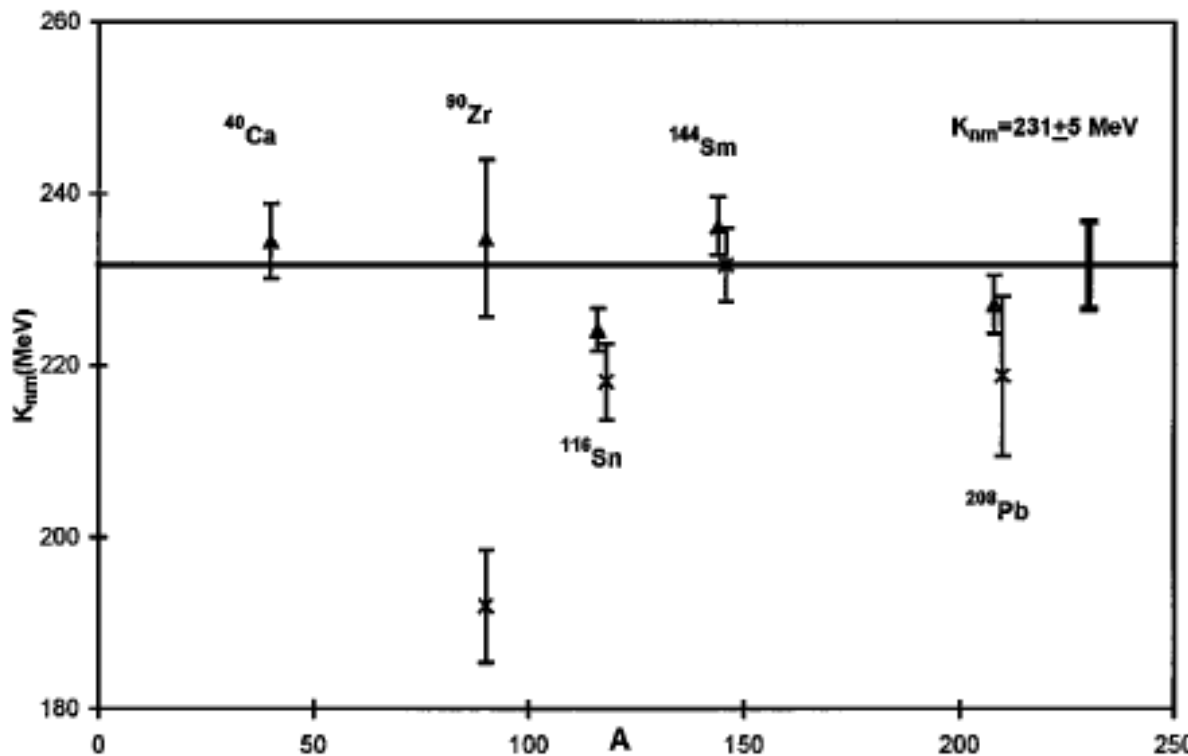
cf. 中性子星の大きさ
や重さ(MR曲線)



Isoscalar giant monopole resonances (breathing mode)

$$E_{\text{ISGMR}} \sim \sqrt{\frac{\hbar^2 K}{m \langle r^2 \rangle}}$$

J.P. Blaizot,
Phys. Rep. 64 ('80) 171



$$K \sim 231 \pm 5 \text{ MeV}$$

レポート問題1(〆切:12月4日(土))

「振動状態」の量子力学的意味を考えるために $H|\psi_n\rangle = E_n|\psi_n\rangle$ で記述される系を考えよう。

- 1) 時刻 $t = 0$ で系が基底状態 ($n=0$) にいる場合、時刻 t において波動関数の2乗

$$\rho(x, t) = |\Psi(x, t)|^2$$

が t に依らないことを示せ。

- 2) 時刻 $t = 0$ で系が $\Psi(x, t = 0) = \psi_0(x) + \alpha\psi_1(x)$ という状態にいるとき、時刻 t における

$$\rho(x, t) = |\Psi(x, t)|^2$$

を求めよ。ただし、 $|\alpha|$ は1に比べて十分小さいとし、 $|\alpha|^2$ の項は無視してよい。

このとき、 $\delta\rho(x, t) \equiv |\Psi(x, t)|^2 - |\psi_0(x)|^2$

は t の関数として振動するが、その周期を求めよ。